

〈論 文〉

재료의 탄소성파괴인성치  $J_{Ic}$ 의 온도 의존성에 관한 연구(Ⅱ)  
— 고온에서의  $J_{Ic}$ 해석 —

석창성\* · 최용식\*\* · 양원호\*\*\* · 김영진\*\*\*

(1990년 1월 25일 접수)

A Study on the Effect of Temperature on the Elastic-Plastic  
Fracture Toughness  $J_{Ic}$  of Materials(Ⅱ)  
—  $J_{Ic}$  Analysis at High Temperature —

C. S. Seok, Y. S. Choy, W. H. Yang and Y. J. Kim

**Key Words:** Fracture Toughness(파괴 인성),  $J_{Ic}$  Test Method( $J_{Ic}$  시험법), Effect of Temperature(온도의 영향), High Temperature Extensiometer(고온용 신장계), COD Gage(COD 케이지), ASTM E 813-87, R-Curve( $R$ -곡선), A516 Gr70

**Abstract**

Elastic-plastic fracture toughness  $J_{Ic}$  can be used as an effective design criterion in nuclear and thermal steam raising systems. Most of these systems are operated at high temperature and  $J_{Ic}$  values are affected by temperature. Therefore, the  $J_{Ic}$  values at high temperature must be determined for use of integrity evaluation and designing of such systems. Usually, the  $J_{Ic}$  value at high temperature is measured by COD gage in an environmental chamber. In this paper, tests were performed by a high temperature extensometer in a split furnace. Elastic-plastic fracture toughness  $J_{Ic}$  tests were performed on A516 Gr70 carbon steel plate and test results were analyzed according to ASTM E 813-87 at temperatures ranging from room temperature(20°C) to 600°C. Experimental results showed that, the  $J_{Ic}$  value and  $R$ -curve determined by the high temperature extensometer agreed well with those by the COD gage. Load-displacement results during the  $J$ -tests showed an evidence of strain aging phenomenon at temperatures above 200°C. It was concluded that, temperatures ranging from 20 to 600°C, fracture toughness  $J_{Ic}$  values were decreased with increasing temperatures.

————— 기 호 설 명 —————

$C_1, C_2$  : 상수

$T$  : 실험온도(°C)

$J$  :  $J$ -적분 값

$\Delta a$  : 균열 진전량

$J_{Ic}$  :  $J$ 의 임계치, 재료의 평면변형 탄소성파괴  
인성치

$\sigma_{fs}$  : (항복강도 + 인장강도)/2

**1. 서 론**

\* 정회원, 성균관대학교 대학원

\*\* 정회원, 성균관대학교 공과대학 기계공학과

\*\*\* 정회원, 성균관대학교 공과대학 기계설계학과

고 인성재료의 파괴는 소규모 항복(small scale yielding) 조건을 만족하지 못하면서 일어나는 경

우가 많다. 이러한 경우, 구조물의 안정성을 확인하기 위하여, 탄소성파괴역학에 의한 탄소성파괴인성을 사용하여 안전성 평가를 하여야 한다. 여기에는  $J$ -직분의 임계치인  $J_{IC}$ 가 유용하게 사용되게 된다. 탄소성파괴인성치  $J_{IC}$ 는 파괴역학적인 설계의 가장 중요한 인자로, 실제로 원자력발전소의 원자로 및 그 냉각계통을 포함한 핵증기 공급계통 내의 부품 및 배관계통과 그 지지구조물 등의 설계기준으로 사용되고 있다. 이러한 구조물들은 고온에서 사용되며, 재료의 파괴특성이나 파괴인성치 등은 온도의 영향을 받는 것으로 알려져 있다<sup>(1~3)</sup>. 따라서 이러한 구조물의 안전설계나 안전성평가를 위하여는, 고온에서의  $J_{IC}$  값이 구하여져야 하며, 여러 가지 재료에 있어서  $J_{IC}$  값의 온도의존성에 대한 연구가 선행되어야 할 것이다.

고온에서의  $J_{IC}$  측정에는 일반적으로 환경조(environmental chamber)와 고온용 COD 게이지를 사용한다. 그러나, 여기에는 온도가 제한되어 있어 고온에서의 실험에는 많은 어려움이 따르기 때문에, 이에 대한 연구가 미흡한 상태에 있다고 하겠다.

본 연구에서는 전보의  $J_{IC}$  시험법 비교<sup>(4)</sup>에 이어, 전기저항 가열로(splic furnace)와 고온용 신장계(high temperature extensometer)를 이용하여, 고온에서의  $J_{IC}$  측정의 가능성을 검토하였으며, 고온용 신장계를 사용할 때와 COD 게이지를 사용할 때의  $J_{IC}$  값의 차이를 비교 검토했다. 또한, 20°C~600°C에서, 온도변화가  $J_{IC}$  값에 미치는 영향에 대하여 고찰하여 보았다.

## 2. 고온에서의 $J_{IC}$ 측정

$J_{IC}$  시험해석을 하기 위하여는, 하중과 하중선변위의 그래프를 그려야 한다. 상온에서는 Fig. 1과

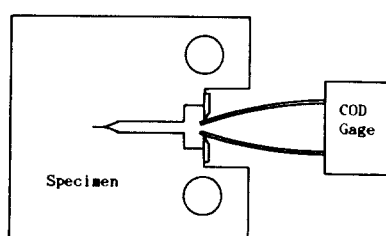


Fig. 1 Measurement of load-line displacement with COD gage

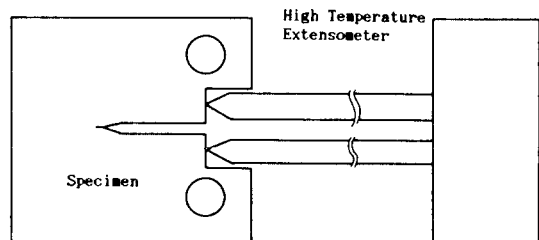


Fig. 2 Measurement of load-line displacement with high temperature extensometer

같이 균열개구부에 COD 게이지를 설치하여 하중선의 변위를 측정하고 있다. 일반적으로 고온의  $J_{IC}$  측정에서는, 환경조 내부에 고온용 COD 게이지를 설치하여 실험한다. 그러나 이 경우에는 환경조나 COD 게이지의 사용 가능한 온도범위에 제한이 있으며, 더욱 높은 온도에서의  $J_{IC}$  시험을 위하여는 별도의 가열로를 사용하여야 하고, 가열로 밖에서 하중선의 변위를 측정할 수 있는 고온용 신장계를 사용하여야 한다.

본 연구에서는 별도의 가열로로 전기저항 가열로를 사용하였으며, 열전도도가 낮고 열팽창과 열변형이 적은 수정봉 형태의 고온용 신장계를 Fig. 2와 같이 설치하여 하중선 변위를 측정하였다. 그러나 ASTM의  $J_{IC}$  표준시험법에서는, 균열개구부의 하중선에 COD 게이지를 설치하여 하중선의 변위를 측정하도록 하고 있다.

## 3. 측정위치에 따른 하중선 변형량 비교

고온용 신장계를 사용할 경우(Fig. 2), 하중선변위의 측정위치가 ASTM 표준시험법의 측정위치(Fig. 1)와 서로 다르다. 이러한 측정위치의 차이나 측정기의 차이에 따라, 두 방법으로 측정한 변위가 서로 다르게 나타날 수 있으므로, 실험에 의하여 이를 검토했다.

본 실험에서는 측정방법에 따른 변위를 비교하기 위하여, 본 연구에서 사용한 A516 Gr70 강의 시편에, 상온용 COD 게이지와 고온용 신장계를 동시에

Table 1 Chemical composition of A516 Gr70 (Wt. %)

| C   | Si  | Mn    | P    | S    | Mo  | Al   | Ni  | V   |
|-----|-----|-------|------|------|-----|------|-----|-----|
| .21 | .24 | 1.070 | .013 | .004 | .06 | .035 | .20 | .38 |

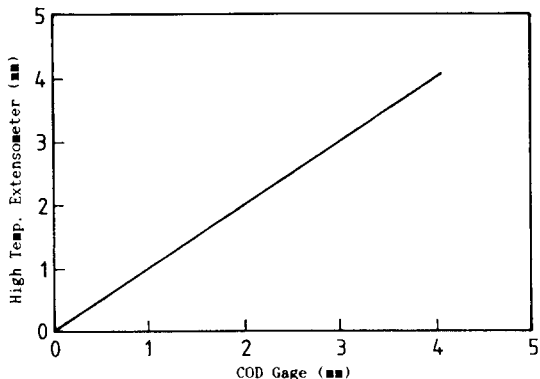


Fig. 3 Comparison of displacement with COD gage and high temperature extensometer

에 설치하여, 하중을 가할 때, COD 케이지의 변위와 고온용 신장계의 변위의 관계를  $X-Y$  기록계로 기록하였다. 그 결과, 두 변위 사이의 관계는, Fig. 3과 같이 잘 일치하여 직선적으로 나타났다.

따라서, 고온용 신장계를 사용하여서도  $J_{IC}$  실험 해석을 할 수 있다고 판단하였다.

#### 4. 고온 $J_{IC}$ 시험

##### 4.1 시편

시편재료로는 A516 Gr70 압연강을 사용하였으며, 화학성분과 온도변화에 따른 기계적 성질은 Table 2와 같다. 시편은 25.4mm 두께의 압연강판에서 Fig. 4와 같이  $T-L$  방향으로 채취하였다.

시편은, 고온용 신장계를 설치하기 위하여, Fig.

Table 2 Mechanical properties of A516 Gr70

| Temperature<br>(°C) | Tensile<br>strength<br>(kgf/mm <sup>2</sup> ) | Yield<br>strength<br>(kgf/mm <sup>2</sup> ) | Elongation<br>(%) |
|---------------------|---|---|-------------------|
| 20                  | 58  | 39  | 22                |
| 100                 | 57  | 38  | 26                |
| 200                 | 56  | 38  | 29                |
| 300                 | 55  | 37  | 31                |
| 400                 | 59  | 37  | 27                |
| 500                 | 53  | 31  | 34                |
| 600                 | 45  | 27  | 37                |

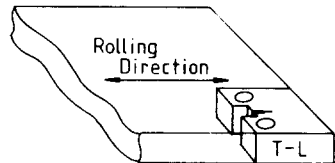


Fig. 4 Orientation of specimen

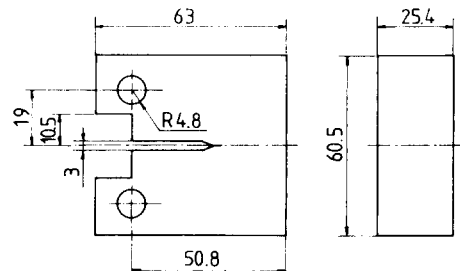


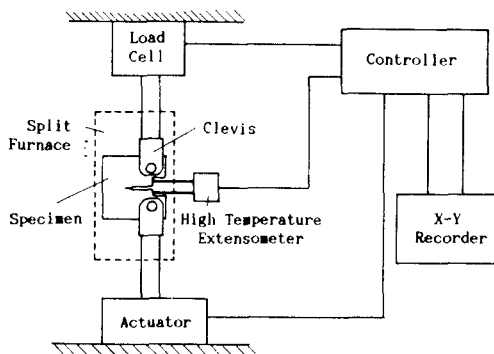
Fig. 5 Dimensions of CT specimen

5와 같이 폭 직경이  $0.1875W (= 9.6\text{mm}, W=50.8\text{mm})$ 인, ASTM의 CT 표준 시편<sup>(5)</sup>으로 하였다.

##### 4.2 시험장치 및 시험방법

시험방법은 ASTM E813-87법<sup>(6)</sup>에 따랐다. 시험기로는 25톤 용량의 서보 유압 컴퓨터제어 재료시험기(servo-hydraulic computer controlled materials testing system : Instron Model No. 1332)를 사용하였으며, 가열로로는 전기저항 가열로(high temperature split furnace, maximum temperature : 1000°C)를 사용하였다. 가열로의 온도조절에는, 300°C까지는 자체 재작한 온도조절기를 사용하였으며, 400°C에서 600°C까지는 Instron사의 자동온도조절기(self adaptive temperature controller : Model No. 3120)를 사용하였다. 가열로 내의 온도분포가 균일하게 자동으로 조절되도록, 시편의 균열부와 가열로 내에 온도감지장치를 설치하여, 온도를 감지하고 조절하였다. 하중선의 변위는 고온용 신장계(high temperature extensometer, maximum temperature : 1000°C)를 사용하여 측정하였으며, 케이지 길이는 12.5mm로 하였다.

Fig. 6은 본 시험에서 사용한 시험장치의 약도이다. 고온용 신장계를 사용하여 20°C, 100°C, 200°C, 300°C, 400°C, 500°C, 600°C에서, COD 케이지를 사용할 때에는 20°C와 100°C에서 각각  $J_{IC}$ 값을 구하고, 그 값의 차이를 각각 비교하였다. 이 때,

Fig. 6 Schematic diagram of  $J_{IC}$  testing system

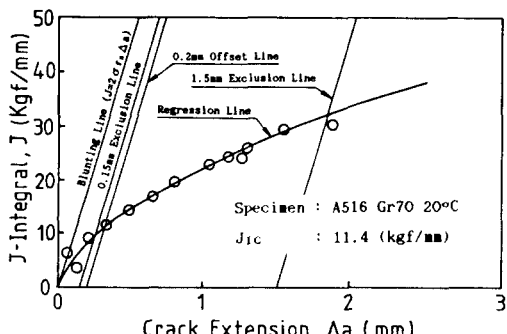
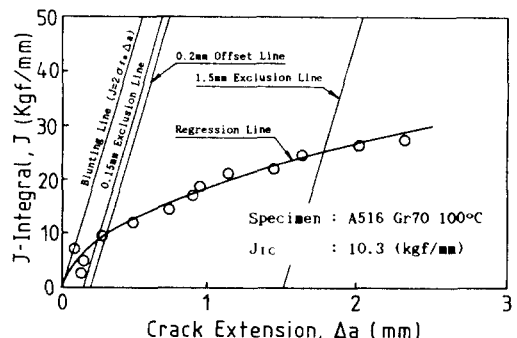
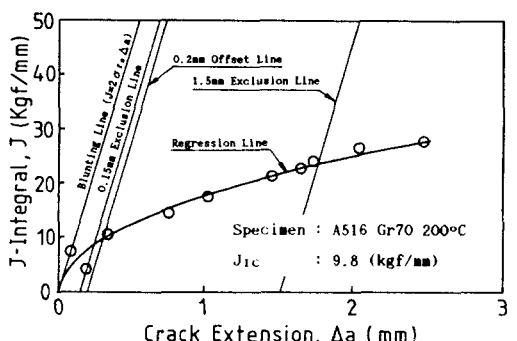
온도조절에는, 사용범위가  $-70\sim200^{\circ}\text{C}$ 인, 환경조 (environmental chamber system)를 사용하였다.

## 5. 실험결과 및 고찰

### 5.1 고온용 신장계와 COD게이지 사용에 따른 $J_{IC}$ 값의 비교

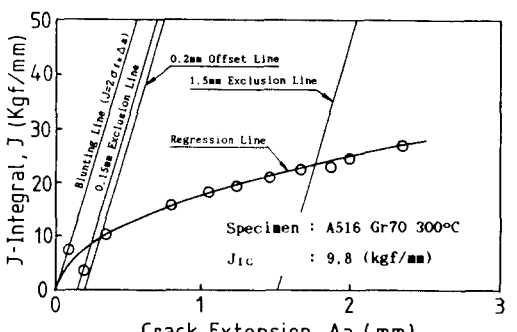
하중과 하중선의 변위를 측정할 수 있으면, 제하 (unloading) 시의 컴플라이언스(compliance)를 이용하여 균열 길이를 계산할 수 있으므로<sup>(6,7)</sup>, 고온용 신장계를 사용할 때와, COD 게이지를 사용할 때의 하중선변위가 같게 나타나므로, 고온용 신장계를 사용하여 하중선의 변위를 측정하여도  $J_{IC}$ 를 구할 수 있을 것이다.

그러나 고온용 신장계를 사용할 때와 COD게이지를 사용할 때의  $J_{IC}$  값에 차이가 있는지를 검토하기 위하여, 두 가지를 사용한 시험결과를 서로 비교하였다.

Fig. 7  $J\text{-}\Delta a$  curve for A516 Gr70 steel with high temperature extensometer at 20°CFig. 8  $J\text{-}\Delta a$  curve for A516 Gr70 steel with high temperature extensometer at 100°CFig. 9  $J\text{-}\Delta a$  curve for A516 Gr70 steel with high temperature extensometer at 200°C

20°C에서 600°C 까지의 고온용 신장계를 사용한  $J_{IC}$  실험결과는 Fig. 7~Fig. 13과 같으며, 20°C와 100°C에서의 COD 게이지를 사용한 시험결과는 Fig. 14 및 Fig. 15와 같다.

20°C와 100°C에서, Fig. 7과 Fig. 8의 고온용 신

Fig. 10  $J\text{-}\Delta a$  curve for A516 Gr70 steel with high temperature extensometer at 300°C

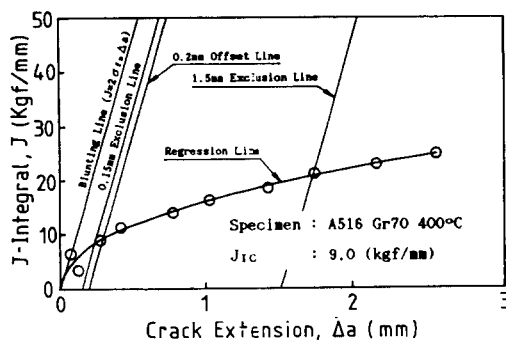


Fig. 11  $J$ - $\Delta a$  curve for A516 Gr70 steel with high temperature extensometer at 400°C

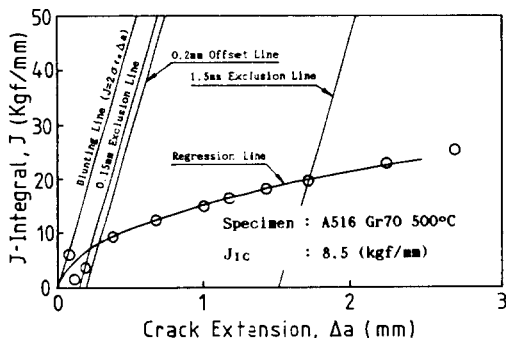


Fig. 12  $J$ - $\Delta a$  curve for A516 Gr70 steel with high temperature extensometer at 500°C

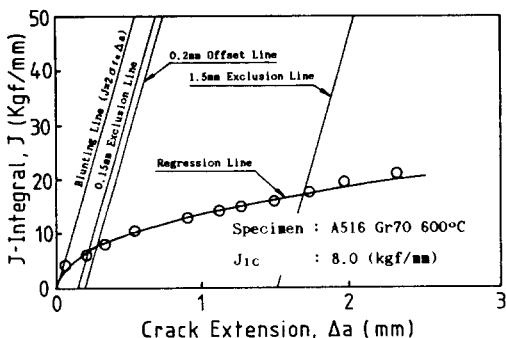


Fig. 13  $J$ - $\Delta a$  curve for A516 Gr70 steel with high temperature extensometer at 600°C

장계를 사용한 시험의 결과와 Fig. 14와 Fig. 15의 COD게이지 사용 결과를 비교할 때, 잘 일치하였다. 이와 같이 고온용 신장계를 사용한 경우와 COD 게이지를 사용한 경우, 비록 두 온도역에서 비교한 실험결과가기는 하나, 실험 해석 결과에 차

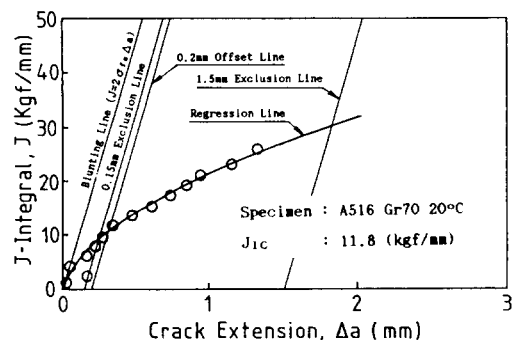


Fig. 14  $J$ - $\Delta a$  curve for A516 Gr70 steel with COD gage at 20°C

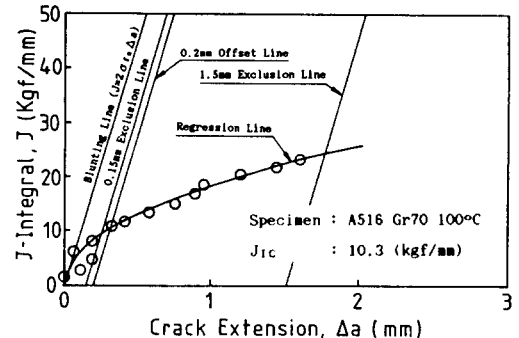


Fig. 15  $J$ - $\Delta a$  curve for A516 Gr70 steel with COD gage at 100°C

이가 거의 없는 것이 확인되었으므로, 고온용 신장계와 전기저항 가열로(split furnace)를 사용하여, 고온에서의  $J_{IC}$ 를 측정하기로 하였다. 이렇게 하여 600°C 까지의 온도에서 실험해석을 하였고, 그 결과로부터  $J_{IC}$ 의 온도 의존성에 대한 고찰을 하였다.

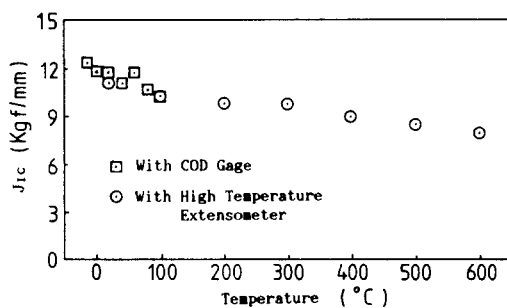
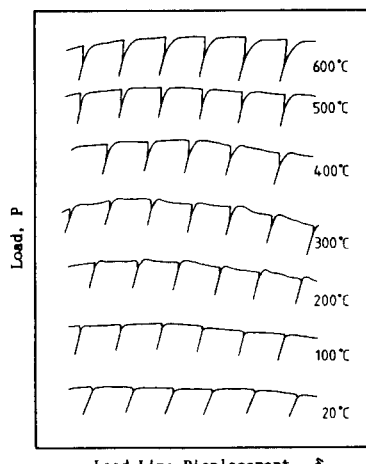
## 5.2 $J_{IC}$ 값의 온도 의존성에 대한 고찰

Table 3에는, 본 연구의 시험결과인, 온도변화에 따른  $J_{IC}$  값과  $R$ -곡선 [ $J = C_1(\Delta a)^{C_2}$ ]의 상수  $C_1$ ,  $C_2$ 를 나타내었다. Fig. 16은 Fig. 7~Fig. 15의 시험결과를 온도와  $J_{IC}$ 와의 관계로 나타낸 것이다.

Table 3과 Fig. 16에서 보는 바와 같이, 온도가 증가 함에 따라  $J_{IC}$  값이 감소함을 알 수 있겠다. 이 때,  $R$ -곡선의 식도 달라지는데,  $R$ -곡선의 식 [ $J = C_1(\Delta a)^{C_2}$ ]에서 상수  $C_1$ 과  $C_2$ 값은 온도가 증가함에 따라 감소함을 볼 수 있다. 하중-하중선변위-곡선에서, 온도가 증가함에 따라 재료의 연성이 증가하고, 200°C 에서는 시효변형(strain-aging) 현

Table 3 The effect of temperature on  $J_{IC}$ 

| Test method                        | Temp. (°C) | $R$ -curve<br>$J = C_1(\Delta a)^{C_2}$ |       |       |
|------------------------------------|------------|---|-------|-------|
|                                    |            | $J_{IC}$ (kgf/mm)                       | $C_1$ | $C_2$ |
| With COD gage                      | 20         | 11.8                                    | 22.3  | 0.56  |
|                                    | 100        | 10.3                                    | 18.7  | 0.50  |
| With high temperature extensometer | 20         | 11.4                                    | 22.4  | 0.59  |
|                                    | 100        | 10.3                                    | 18.8  | 0.51  |
|                                    | 200        | 9.8                                     | 17.8  | 0.50  |
|                                    | 300        | 9.8                                     | 17.8  | 0.50  |
|                                    | 400        | 9.0                                     | 16.0  | 0.47  |
|                                    | 500        | 8.5                                     | 15.3  | 0.49  |
|                                    | 600        | 8.0                                     | 13.5  | 0.45  |

Fig. 16 The effect of temperature on the  $J_{IC}$  of A516 Gr70 steelFig. 17  $P$ - $\delta$  curve for A516 Gr70 steel at several test temperature

상<sup>(8)</sup>이 나타나기 시작하며, Fig. 17에서와 같이 온도가 증가할수록 그 현상이 뚜렷하게 나타난다. 온도의 증가에 따라  $J_{IC}$ 값이 다르게 나타나는 것으로 생각된다<sup>(9)</sup>. 그러나 이 온도구간에서는 온도의 상승에 따라  $J_{IC}$ 값이 순차적으로 조금씩 감소하였으며, 600°C에서의  $T_{IC}$ 값은 상온에서의  $J_{IC}$ 값보다 약 39% 정도 작게 나타났다. 이러한 시험결과를 최소자승법(least square method)을 이용하여,  $J_{IC}$ (kgf/mm)와  $T$ (°C)와의 관계로 나타내면, 다음과 같다.

$$J_{IC} = -0.0057 T + 11.3$$

## 6. 결 론

고온용 신장계와 전기저항 가열로를 사용하여, 20°C~600°C에서  $J_{IC}$ 시험을 하였으며, 그 결과를 고찰하여 다음과 같이 결론을 얻었다.

(1) 고온용 신장계와 전기저항 가열로를 이용하여 고온에서의  $J_{IC}$ 를 측정하였으며, 그 해석결과는 COD 계이지를 사용할 때와 잘 일치하였다.

(2) 20°C~600°C에서, A516 Gr70 압연강의  $T$ - $L$  방향의  $J_{IC}$ 값(kgf/mm)은 온도의 상승에 따라 조금씩 감소하였으며, 600°C에서의  $T_{IC}$ 값은 상온(20°C)에서의  $J_{IC}$ 값보다 약 30% 정도 작게 나타났다.

또한, 이를 온도  $T$ (°C)와의 함수관계로 나타내면 다음과 같다.

$$J = -0.0057 T + 11.3$$

(3) A516 Gr 70 압연강의  $R$ -곡선의 식 [ $J = C_1(\Delta a)^{C_2}$ ]에서, 상수  $C_1$ ,  $C_2$ 는 온도가 증가할수록 감소하였다.

## 참 고 문 헌

- Mills, W.J., 1987, "Fracture Toughness of Two Ni-Fe-Cr Alloys", Engineering Fracture Mechanics, Vol. 26, No. 2, pp. 223~228.
- Gentilicore, V. J., Pense, A.W., and Stout, R.D., 1970, "Fracture Toughness of Pressure Vessel Steel Weldments", Welding Journal, Vol. 49, No. 8, pp. 341~353.
- Shimomura, K., Shoji, T., and Takahashi, H., 1987, "Evaluation of Intergranular Fracture Initiation in Transition Region of Retired Steam Turbine Rotor Steel Using Small Specimens and the Acoustic Emis-

- sion Technique", Journal of Testing and Evaluation, Vol. 15, No. 5, pp. 257~264.
- (4) 식창성, 최용식, 양원호, 김영진, 1989, "재료의 탄소성파괴인성치  $J_{IC}$ 의 온도 의존성에 관한 연구(1)", 대한기계학회논문집, 제13권 제4호, pp. 653~659.
- (5) "Standard Test Method for  $J_{IC}$ , A Measure of Fracture Toughness", 1987 Annual Book of ASTM Standards, ASTM E 813-87.
- (6) Simth, R.F., and Doig, P., 1986, "Crack Length Measurement by Compliance in Fracture Toughness Testing", Experimental Mechanics, Vol. 26, No. 2, pp. 122~127.
- (7) Neal, B. K., and Priest, R.H., 1985, "The Unloading Compliance Method for Crack Length Measurement Using Compact Tension and Precracked Specimen", ASTM STP 856, pp. 375~393.
- (8) Miglin, M.T., Van Der Sluys, W.A., Futato, R.J., and Domian, H.A., 1985, "Effect of Strain Aging in the Unloading Compliance  $J$  Test", ASTM STP 856, pp. 150~165.
- (9) Ross, E., and Eisele, U., 1988, "Determination of Material Charateristic Values in Elastic-Plastic Fracture Mechanics by Means of  $J$ -Integral Crack Resistance Curves", Journal of Testing and Evaluation, Vol. 16, No. 1, pp. 1~11.